**Zeitschrift:** Schweizerische Bauzeitung

Herausgeber: Verlags-AG der akademischen technischen Vereine

**Band:** 125/126 (1945)

Heft: 6

Artikel: Ueber Schweisspannungen bei gehinderter Schrumpfung

Autor: Stüssi, F.

**DOI:** https://doi.org/10.5169/seals-83711

## Nutzungsbedingungen

Die ETH-Bibliothek ist die Anbieterin der digitalisierten Zeitschriften auf E-Periodica. Sie besitzt keine Urheberrechte an den Zeitschriften und ist nicht verantwortlich für deren Inhalte. Die Rechte liegen in der Regel bei den Herausgebern beziehungsweise den externen Rechteinhabern. Das Veröffentlichen von Bildern in Print- und Online-Publikationen sowie auf Social Media-Kanälen oder Webseiten ist nur mit vorheriger Genehmigung der Rechteinhaber erlaubt. Mehr erfahren

### **Conditions d'utilisation**

L'ETH Library est le fournisseur des revues numérisées. Elle ne détient aucun droit d'auteur sur les revues et n'est pas responsable de leur contenu. En règle générale, les droits sont détenus par les éditeurs ou les détenteurs de droits externes. La reproduction d'images dans des publications imprimées ou en ligne ainsi que sur des canaux de médias sociaux ou des sites web n'est autorisée qu'avec l'accord préalable des détenteurs des droits. En savoir plus

#### Terms of use

The ETH Library is the provider of the digitised journals. It does not own any copyrights to the journals and is not responsible for their content. The rights usually lie with the publishers or the external rights holders. Publishing images in print and online publications, as well as on social media channels or websites, is only permitted with the prior consent of the rights holders. Find out more

**Download PDF:** 10.12.2025

ETH-Bibliothek Zürich, E-Periodica, https://www.e-periodica.ch

## Ueber Schweisspannungen bei gehinderter Schrumpfung Von Prof. Dr. F. STUSSI, E. T. H., Zürich

I. Ueber die Grösse der inneren Spannungen in einem geschweissten Werkstück, dessen Formänderungen beim Schweissen durch Einspannung teilweise verhindert werden, sind vor einiger Zeit vom Deutschen Stahlbau-Verband aufschlussreiche Versuchs-Ergebnisse veröffentlicht worden 1). Die beiden in einem kräftigen Blechrahmen durch Verschrauben eingespannten Platten-Hälften mit Querschnitt — 300 · 30 (Abb. 1) wurden durch Xoder U-Naht zusammengeschweisst. Die durch die verhinderte

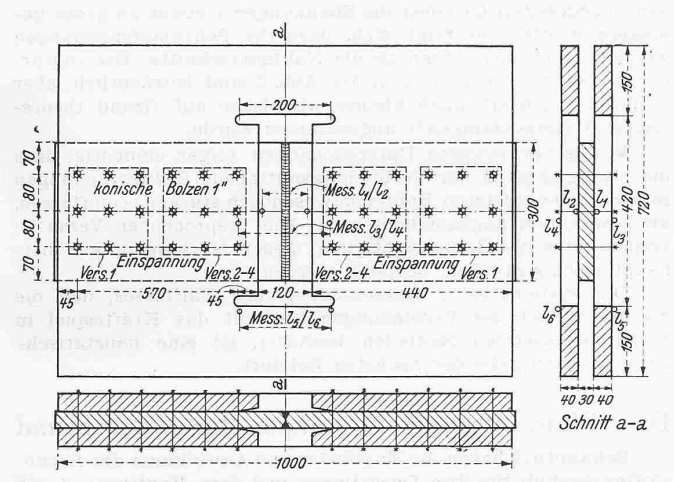


Abb. 1. Einspannrahmen für Schweissversuche

Schrumpfung verursachten Spannungen in der Schweissnah wurden durch Zerlegen der Platte nach dem Erkalten bestimmt; ferner konnte durch Messung der Formänderungen des Rahmens ein Kontrollwert der resultierenden Zugkraft Z in der Platte gefunden werden.

Es wurden vier Versuche durchgeführt, die wie folgt charakterisiert werden können:

Versuch 1: X-Naht, grosse Einspannlänge, in einer Wärme geschweisst:

Versuch 2: X-Naht, kurze Einspannlänge, in einer Wärme geschweisst;

Versuch 3: U-Naht, kurze Einspannlänge, mit Abkühlungspausen geschweisst:

Versuch 4: U-Naht, kurze Einspannlänge, in einer Wärme geschweisst, Wurzellagen nicht mehr geschweisst.

Die kurze Einspannlänge, von Mitte zu Mitte der Schraubengruppen gemessen, beträgt l = 350 mm, die grosse l = 780 mm. Der Nahtquerschnitt der X-Naht beträgt 380 mm², derjenige der U-Naht 660 mm², das Querschnittsverhältnis ist somit 1:1,7.

Abb. 2 zeigt die durch Zerlegen der geschweissten Platten gefundenen Spannungen (quer zur Naht) in kg/mm². Die Schluss-Folgerungen, die aus diesen Spannungswerten gezogen werden, sind folgende:

1. Durch die kürzere Einspannlänge bei Versuch 2 steigt die Querverspannung  $(\sigma_m)$  von 11,0 auf 13,4 kg/mm<sup>2</sup>. Die Steigerung ist im Verhältnis der merklich verkürzten Einspannlänge recht mässig.

2. Durch den grösseren Nahtquerschnitt der U-Naht gegenüber der X-Naht steigt die Querverspannung bei gleichen äusseren Einspannverhältnissen und gleichen Schweissbedingungen von 13,4 auf 16,7 kg/mm<sup>2</sup>) (Versuche 2 und 4). Die Steigerung ist im Verhältnis der verschiedenen Nahtquerschnitte nicht besonders hoch.

3. Durch die regelmässigen Abkühlungspausen nach den einzelnen Lagen bzw. Lagengruppen in Versuch 3 wird die Querverspannung gegen-

<sup>1</sup>) Einfluss der Nahtform und der Schweissausführung auf die Quer-Verspannung beim Schweissen unter Einspannung. Berichte des Deutschen Ausschusses für Stahlbau, Heft 13, Berlin 1943. Berichterstatter G. Bierett und K. Albers.

 $^{\circ}$ ) Dieser Wert  $\sigma m=16.7~kg/mm^{\circ}$  für Versuch 4 ist aus der Rahmenverformung bestimmt, da die Berichterstatter die durch Zerlegen bestimmten Spannungen hier wegen der fehlenden Wurzellage als unsicher ansehen.

über dem in einer Wärme geschweissten Versuchsstück 4 von 16,7 auf 15,5 kg/mm<sup>2</sup> ermässigt.

Wir greifen diese Versuche nochmals auf, weil durch eine verfeinerte Beurteilung und Versuchsauswertung unter Berücksichtigung der Formänderungen von Rahmen und Schrauben die Schlussfolgerungen verändert werden.

II. Der in Abb. 2 dargestellte polygonale Spannungsverlauf ist in Wirklichkeit nicht vorhanden; ersetzen wir ihn durch eine stetige Kurve, so erhalten wir, mit der Simpson'schen Regel berechnet, folgende Spannungsmittelwerte  $\sigma_m$  und Zugkräfte  $Z = F \sigma_m$ , wobei  $F = 90 \text{ cm}^2$ :

Versuch 1: 
$$o_m = 12,6 \text{ kg/mm}^2$$
,  $Z = 113 \text{ t}$ 

Versuch 2: 
$$\sigma_m = 16.0 \text{ kg/mm}^2$$
, Z = 144 t

Versuch 3: 
$$\sigma_m = 16.9 \text{ kg/mm}^2$$
,  $Z = 152 \text{ t}$ 

Versuch 4: 
$$\sigma_m = 22.8 \text{ kg/mm}^2$$
,  $Z = 205 \text{ t}$ 

Das Schrumpfmass  $s_0$ , das sich bei ungehinderter Schrumpfung einstellen würde, muss bei gehinderter Verformung kompensiert werden durch die Dehnung des Versuchsstabes, die Formänderung des Rahmens und die Nachgiebigkeit der Schraubenverbindung. Bezeichnen wir den Formänderungswiderstand des Rahmens mit  $C_R$ , denjenigen einer Schraube mit  $C_S$ , so muss, wenn ein Stabende mit n Schrauben angeschlossen ist, sein  $s_0 = \frac{Z\,l}{E\,F} + \frac{Z}{C_R} + 2\,\frac{Z}{n\,C_S} \dots \dots$  (1a)

$$s_0 = \frac{Zl}{EF} + \frac{Z}{C_P} + 2\frac{Z}{nC_S} \cdot \cdot \cdot \cdot (1a)$$

oder auch

$$s_0 = \frac{\sigma_m \, l}{E} + \frac{\sigma_m \, F}{C_R} + 2 \frac{\sigma_m \, F}{n \, C_S} \ . \ . \ . \ (1\, b)$$
 Unbekannt sind, ausser dem Schrumpfmass  $s_0$ , die Wider-

stände  $C_R$  und  $C_S$ . Der Widerstand  $C_S$  einer Schraube kann zu  $C_S = k d^2$ 

angesetzt werden 3); für zweischnittige Nieten ist 
$$k=75 \text{ t/cm}^3$$

zu setzen. Führen wir für die hier verwendeten Passchrauben Ø 1" den gleichen Wert ein, so wird

$$C_S = 75 \cdot 2,54^2 = 484 \text{ t/cm}$$

Der Rahmenwiderstand kann für die Versuche mit kurzer Einspannlänge aus der Rahmenverformung an den Messtrecken  $l_3/l_4$  (Abb. 1) abgeschätzt werden; für Versuch 2 beträgt diese Rahmenverkürzung  $\Delta l_R=0.35$  mm und es ist  $C_R=rac{Z}{\Delta l_R}=rac{144}{0.035}=4110$  t/cm

$$C_R = \frac{Z}{\Delta l_R} = \frac{144}{0,035} = 4110 \text{ t/cm}$$

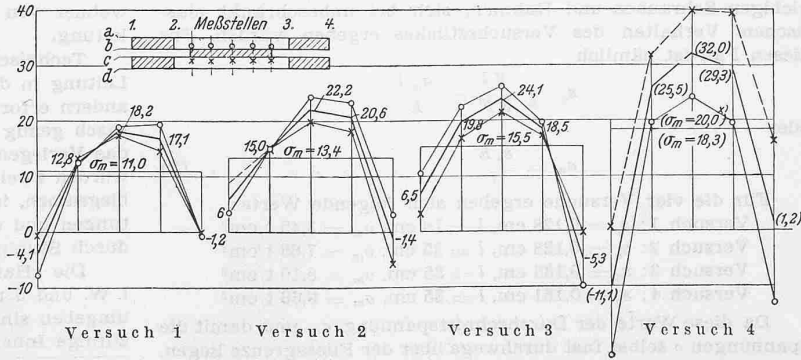
Damit wird für Versuch 2 das Schrumpfmass  $s_0$ 

$$\underline{s_0} = \frac{144 \cdot 35}{2100 \cdot 90} + \frac{144}{4110} + 2 \cdot \frac{144}{9 \cdot 484} = 0,027 + 0,035 + 0,066 = 0,128 \text{ cm}$$

Im Versuch 1 liegen gleiche Naht und gleiche Schweiss-Bedingungen vor wie im Versuch 2; es muss deshalb grundsätzlich auch das Schrumpfmass  $s_0$  gleich gross sein; damit kann der Rahmenwiderstand  $C_R$  für die grosse Einspannlänge, l=78 cm, berechnet werden:

$$s_0 = 0.128 = \frac{113 \cdot 78}{2100 \cdot 90} + \frac{113}{C_R} + 2 \cdot \frac{113}{9 \cdot 484} = 0.047 + \frac{113}{C_R} + 0.052$$

3) Siehe F. Stüssi: Beiträge zur Berechnung und Ausbildung zusammengesetzter Vollwandträger. SBZ, Bd. 121, S. 102\* (1943).



x Unsicher, da Wurzellagen fehlen.

x) Bezogen auf die ohne Wurzellagen hergestellte schwächere Naht.

Abb. 2. Querspannungen in den vier Proben nach dem Erkalten

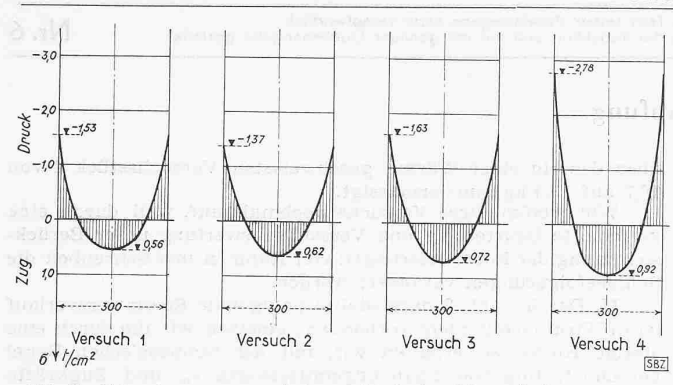


Abb. 3. Schweisspannungen bei ungehinderter Längenänderung

$$C_R = \frac{113}{0,128 - 0,047 - 0,052} = 3900 \text{ t/cm}'$$

Dieser Wert ist plausibel, denn der Rahmenwiderstand  $C_R$  muss für die grosse Einspannlänge etwas kleiner sein als für die kleine Einspannlänge. Damit wird auch der angenommene Wert des Verformungswiderstandes  $C_S$  der Schrauben als annähernd richtig bestätigt.

Für die Versuche mit U-Naht, Versuch 3 mit Abkühlungspausen und Versuch 4 in einer Wärme geschweisst, ergeben sich, mit den gleichen Grundlagen berechnet, die Schrumpfmasse  $s_0$  wie folgt:

$$\begin{array}{l} \text{Versuch 3: } s_0 = \frac{152 \cdot 35}{2100 \cdot 90} + \frac{152}{4110} + 2 \cdot \frac{152}{9 \cdot 484} = \\ = 0.028 + 0.037 + 0.070 = 0.135 \text{ cm} \\ \text{Versuch 4: } s_0 = \frac{205 \cdot 35}{2100 \cdot 90} + \frac{205}{4110} + 2 \cdot \frac{205}{9 \cdot 484} = \\ = 0.038 + 0.050 + 0.094 = 0.182 \text{ cm} \end{array}$$

Beim Versuch 4 hat sich, infolge der durch das Fehlen der Wurzellage entstandenen Unsicherheit in der Spannungsbestimmung, die Zugkraft Z offenbar etwas zu gross ergeben. Aus der Rahmenverformung  $\Delta l_R$ , die beim Versuch 4 mit 0,44 mm gemessen wurde, können wir auf eine Zugkraft Z von

$$Z = C_R \Delta l_R = 4110 \cdot 0,044 = 181 \text{ t}$$

und damit auf eine mittlere Spannung  $\sigma_m$  von

$$\sigma_m = \frac{181}{90} = 2.01 \text{ t/cm}^2 = 20.1 \text{ kg/mm}^2$$

und ein Schrumpfmass  $s_0 = 0,161$  cm schliessen.

Betrachten wir nun die verschiedenen Formänderungsanteile, so stellen wir fest, dass bei kurzer Einspannlänge die Längenänderung des Versuchsstabes rund ein Viertel, bei grosser Einspannlänge rund die Hälfte der Verformung des Rahmens und der Schrauben beträgt. Es handelte sich somit bei diesen Versuchen um Schweissen unter sehr nachgiebiger Festhaltung; auf diese Verhältnisse, und nicht etwa auf «starre Einspannung» sind die Schlussfolgerungen der Berichterstatter zu beziehen.

Ich habe absichtlich darauf verzichtet, bei dieser Auswertung die aus den Verkürzungen der Rahmenstiele berechneten Kräfte Z zu verwenden, weil hier, wegen der gedrungenen Form der Stiele (Scheibe anstatt schlanker Stab), die Spannungen kaum mehr linear verlaufen werden, sodass aus den Randspannungen allein nicht mehr auf die resultierende Kraft geschlossen werden darf.

III. Die Gleichung 1 erlaubt uns nun auch, diejenigen Kräfte  $\mathbb Z$  zu bestimmen, die bei «starrer Einspannung», d. h. bei unnachgiebigen Schrauben und Rahmen, sich bei unbeschränkt elastischem Verhalten des Versuchsstückes ergeben würden. Für diesen Fall ist nämlich

$$s_0 = \frac{Z l}{E F} = \frac{\sigma_m l}{E}$$

oder

Für die vier Versuche ergeben sich folgende Werte:

Versuch 1:  $s_0 = 0.128$  cm, l = 78 cm,  $\sigma_m = 3.45$  t/cm<sup>2</sup>

Versuch 2:  $s_0 = 0.128$  cm, l = 35 cm,  $\sigma_m = 7.68$  t/cm<sup>2</sup>

Versuch 3:  $s_0 = 0.135$  cm, l = 35 cm,  $\sigma_m = 8.10$  t/cm<sup>2</sup>

Versuch 4:  $s_0 = 0.161$  cm, l = 35 cm,  $\sigma_m = 9.66$  t/cm<sup>2</sup>

Da diese Werte der Durchschnittspannung  $\sigma_m$  und damit die Spannungen  $\sigma$  selbst fast durchwegs über der Fliessgrenze liegen, gilt die Voraussetzung des elastischen Verhaltens nicht mehr, sondern der Versuchsstab würde bei vollständig verhinderter Schrumpfung bis zur Fliessgrenze beansprucht.

IV. Aus den Versuchsergebnissen Abb. 2 können nun aber, weil die Voraussetzung des elastischen Verhaltens im Untersuchungsbereich praktisch genügend genau zutrifft, auch diejenigen Spannungen  $\sigma_0$  herausgelesen werden, die sich ergeben hätten, wenn die Stabenden während des Schweissens überhaupt nicht festgehalten worden wären. Aus Gleichgewichtsgründen muss dann nämlich sein:

$$\int\limits_0^F \sigma \ d \ F \equiv 0$$

oder es ist

Diese Spannungsverteilung  $\sigma_0$  ist in Abb. 3 aufgetragen, wobei symmetrisch liegende Spannungswerte gemittelt wurden, um die zufällige Unsymmetrie auszuschalten. Beachten wir, dass aus den angegebenen Gründen die Spannungen 4 etwas zu gross gemessen wurden, so zeigt sich, dass die Schrumpfspannungen weniger stark anwachsen als die Nahtquerschnitte. Die «natürlichen» Schrumpfspannungen der Abb. 3 sind beträchtlich, aber immerhin doch erheblich kleiner, als bisher auf Grund theoretischer Untersuchungen 4) angenommen wurde.

V. Die vorliegenden Untersuchungen zeigen eindeutig, dass die Nachgiebigkeit der Verbindungsmittel die Beanspruchungen in zusammengesetzten Bauteilen wesentlich stärker beeinflussen, als gewöhnlich angenommen wird. Die besprochenen Versuche können ohne die Berücksichtigung dieser Nachgiebigkeit überhaupt nicht zutreffend beurteilt werden.

Die systematische Untersuchung des Einflusses, den die Nachgiebigkeit der Verbindungsmittel auf das Kräftespiel in zusammengesetzten Bauteilen besitzt<sup>5</sup>), ist eine baustatische Forschungsaufgabe der nächsten Zukunft.

# Die «Pluto»-Brennstoffleitungen durch den Kanal

Bekanntlich haben die Engländer und Amerikaner den Brennstoffnachschub für ihre Operationen auf dem Kontinent durch ins Meer versenkte Leitungen bewerkstelligt und so viele Tanker für den Krieg im fernen Osten frei bekommen. Die englische Zeitschrift «Engineering» beschreibt auf Seiten 425\*, 444\*, 464\*, 463\* und 504\*, Juni 1945, ausführlich die unter dem Decknamen «Pluto» (pipe lines under the ocean) bekannten Anlagen. Die Idee des Brennstoffnachschubes über den Kanal zwischen England und Frankreich durch Rohrleitungen soll ursprünglich vom heutigen Oberkommandierenden der Streitkräfte in Burma, Lord Louis Mountbatten herstammen, der damals die Ausbildung der «Commando»-Einheiten leitete. Sie wurde zunächst von den beiden Firmen «Siemens Brothers» und «The Anglo-Iranian Oil Company» aufgegriffen und auch verwirklicht, wobei das Hauptverdienst dem Obering, der zuletzt genannten Firma, Mr. Hartley, gebührt. Das angewendete System erhielt den Namen «Hais». Es ist erstaunlich und für uns lehrreich, was aus der Zusammenarbeit dieser beiden Firmen hervorging: Im Mai 1942 wurde in zwei Wochen ein Versuchstück von 50 mm  $\varnothing$  gebaut und in der Themse verlegt. Der Versuch gelang und Mountbatten unternahm bei der Regierung die nötigen Schritte, um sofort mit einem Grossversuch beginnen zu können. Denn man war sich bewusst, dass bedeutend grössere technische Schwierigkeiten zu überwinden sein werden, als etwa beim Verlegen eines elektrischen Kabels. Die neue Versuchsleitung erhielt 75 mm l. W., welches Mass bei allen späteren Leitungen beibehalten wurde. Sie wurde für einen Druck von  $85~\mathrm{kg/cm^2}$  und eine Länge von 55 km gebaut und im Dezember 1942 im Bristol-Kanal von Swansea nach Watermouth verlegt; an dieser Stelle herrschen ganz ähnliche Meeresströmungen und Ebbe- und Flutverhältnisse wie im Kanal. Während mehr als einem Jahr erhielten die Bewohner von Cornwall ihren Brennstoff durch diese Versuchsleitung.

Technisch besteht das Problem im Wesentlichen darin, die Leitung in der ganzen für die Verbindung von einem Ufer zum andern erforderlichen Länge absolut dicht und fehlerfrei sowie rasch genug herzustellen und in einer für den Transport und das Verlegen zweckmässigen Form aufzustappeln. Gleichzeitig wurden zwei grundsätzlich verschiedene Bauarten verfolgt: Die biegsamen, im Wesentlichen aus Blei hergestellten «Hais»-Leitungen und die aus verhältnismässig dickwandigen Stahlrohren durch Stumpfschweissung hergestellten «Hamel»-Leitungen.

Die «Hais»-Leitungen bestehen aus Bleirohren von 75 mm l. W. und 5 mm Wandstärke, Abb. 1, die von zwei Armierungen umgeben sind. Die innere Armierung, die die Ringspannungen zufolge Innendruck aufzunehmen hat, ist gegenüber dem Blei-

5) Siehe z. B. F. Stüssi: Ueber den verdübelten Balken. SBZ, Bd. 122, S. 271\* (1943).

<sup>4)</sup> Siehe z. B. *G. Grüning*: Die Schrumpfspannungen beim Schweissen. «Stahlbau» 1934, Heft 14.